

MODELO VIDRO DE SPIN ISING HOPFIELD EM TEORIA DE CAMPO MÉDIO

ARTHUR KRINDGES¹; CARLOS ALBERTO V. DE MORAIS JUNIOR²

¹Departamento de Física, Universidade Federal de Pelotas – arthurkrindges@gmail.com

²Departamento de Física, Universidade Federal de Pelotas – carlosavjr@gmail.com

1. INTRODUÇÃO

Uma das áreas mais fundamentadas da física é matéria condensada, nela se discute as propriedade da matéria. Como subárea da matéria condensada, ênfase tem sido dada nos fenômenos associados as transições de fase da matéria (CAL-LISTER, 2002). Especificamente, sistemas como CuMg (FISCHER, HERTZ, 1991) que podem apresentar uma transição de fase Vidro de Spin (VS) para Paramagnética (PM).

A fase VS apresenta propriedade únicas e é caracterizada pela desordem e frustração. Por ponto de vista teórico, tal fase é comumente descrita por modelos de Ising, com adição de desordem (NISHIMORI, 2001). Para a caracterização VS o modelo Ising Hopfield tem sido empregado (HOPFIELD, 1982). A partir do tratamento teórico, este modelo permite ajustar a desordem e competição das interações. Consequente, os contornos de fase podem ser analisados em regimes de desordem trivial e de alta desordem.

Para assinalar a fase VS, o comportamento da suscetibilidade linear e não-linear podem ser analisados. Portanto, o presente trabalho propõe a obtenção desta quantidade do ponto de vista numérico. Para realizar esse objetivo, os parâmetros de ordem (AMIT, 1987), (NISHIMORI, 2001) são calculados numericamente. Para o cálculo numérico, os métodos de Newton e trapézio são empregados. Como consequência, uma análise das suscetibilidades linear e não linear pode ser feita com regime de alta desordem e frustração.

2. METODOLOGIA

O Modelo Hopfield é definido pelo Hamiltoniano da equação (1)

$$H = \frac{-1}{2} \sum_{i \neq j} J_{ij} S_i S_j. \quad (1)$$

Os momentos de spin(S) são representados por dois estado, spin positivo(+1) ou spin negativo(-1) e pela regra de Hebb, em que a interação é dada por

$$J_{ij} = \frac{1}{N} \sum_{\mu=1}^p \xi_i^{\mu} \xi_j^{\mu}. \quad (2)$$

Por meio de teoria de campo médio, as equações dos parâmetros de ordem do sistema (3) e (4) são obtidas (NISHIMORI, 2001).

$$m = \int Dz [\xi \tanh \beta (\sqrt{\alpha r} + m \xi + h)] = \int Dz \tanh \beta (\sqrt{\alpha r} z + m + h), \quad (3)$$

$$q = \int Dz [\tanh^2 \beta (\sqrt{\alpha r} z + m \xi + h)] = \int Dz \tanh^2 \beta (\sqrt{\alpha r} z + m + h), \quad (4)$$

$$r = \frac{q}{(1-\beta+\beta q)^2}. \quad (5)$$

A equação (6) que descreve a energia livre de Helmholtz:

$$f = \frac{1}{2}m^2 + \frac{\alpha}{2\beta} \left(\log(1-\beta+\beta q) - \frac{\beta q}{1-\beta+\beta q} \right) + \frac{\alpha\beta}{2}r(1-q) - T \int Dz [\log 2 \cosh \beta(\sqrt{\alpha}r z + m + h)]. \quad (6)$$

Para a resolução do sistema das duas equações acopladas (3) e (4), métodos numéricos foram utilizados (WILLIAM H. P et al, 1992). Particularmente, o método de Newton para resolução de sistemas não-lineares foi empregado, que consiste em aproximar o sistema não-linear($F(x)$) em um sistema linear($L(x)$) através da matriz jacobiana($J(x)$)

$$L(x) = F(a) + J(a)(x-a). \quad (7)$$

Para os cálculos das integrais gaussianas, foi utilizado o método do trapézio

$$\int_{-\infty}^{+\infty} f(x) dx = \lim_{dx \rightarrow 0} \sum_{x=-\infty}^{+\infty} \frac{[f(x+dx) + f(x)]dx}{2}. \quad (8)$$

Os métodos foram implementados em linguagem FORTRAN. Com o cálculo dos parâmetros de ordem foi possível determinar o comportamento da suscetibilidades dadas pelas equações (9) (FISCHER, HERTZ, 1991),

$$\chi_1 = \lim_{h \rightarrow 0} \frac{\partial m}{\partial h}, \quad \chi_3 = \lim_{h \rightarrow 0} \frac{-1}{3!} \frac{\partial^3 m}{\partial h^3}, \quad (9)$$

onde h é o campo externo. Para a resolução das derivadas foram utilizadas as fórmulas de diferença centrada de quarta ordem, sendo elas:

$$f'(x_0) \approx \frac{-f_2 + 8f_1 - 8f_{-1} + f_{-2}}{12h}, \quad (10)$$

$$f^{(3)}(x_0) \approx \frac{-f_3 + 8f_2 - 13f_1 + 13f_{-1} - 8f_{-2} + f_{-3}}{8h^3}. \quad (11)$$

3. RESULTADOS E DISCUSSÃO

Como resultado dos métodos numéricos empregados na metodologia a figura 1 é obtida. O painel (a) mostra o comportamento dos parâmetros de ordem q e m como função da temperatura T/J para $\alpha=0.15$. É observado que o parâmetro $m=0$ para qualquer T/J e o parâmetro $q \neq 0$ somente para valores abaixo de $T/J=T_f/J$, indicando uma transição de fase vidro de spin/paramagnética (VS/PM).

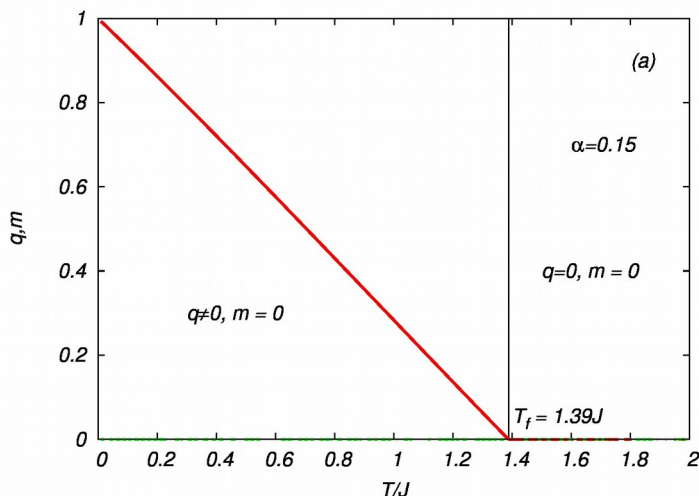


Figura 1(a): Comportamento dos parâmetros q e m em função de T/J para $\alpha=0.15$

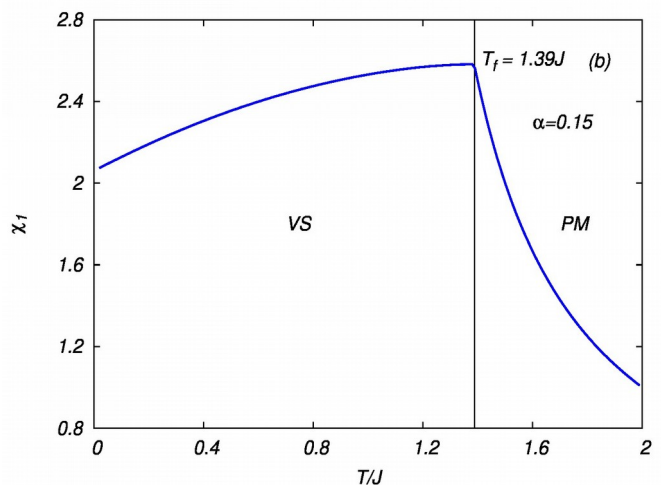


Figura 1(b): Suscetibilidade magnética em função de T/J para $\alpha=0.15$

No painel (b) o comportamento da susceptibilidade linear χ_1 como função de T/J para $\alpha=0.15$ é mostrado. É importante notar uma descontinuidade no comportamento da suscetibilidade em $T/J=T_f/J$.

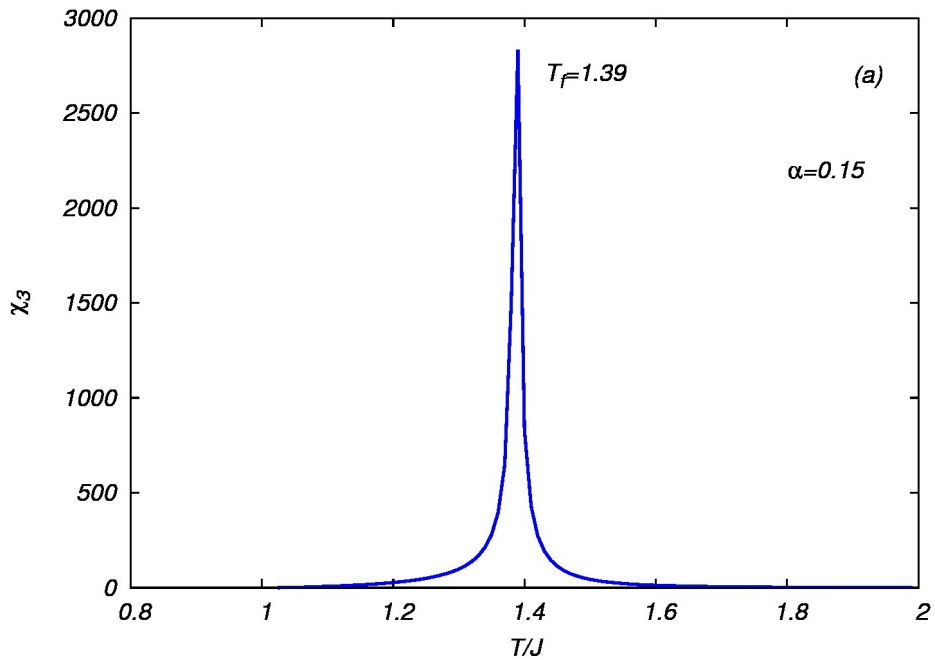


Figura 2: Suscetibilidade não-linear em função de T/J para $\alpha=0.15$

Na Fig. 2, é destacado o comportamento susceptibilidade não-linear χ_3 como função de T/J para $\alpha=0.15$. Neste resultado, é observada uma divergência caracterizando a transição de fase. Na Fig. 3, o diagrama de fases T/J como função de α é mostrado. Neste, as linhas contínua e segmentada separam as fases VS/PM e Ferromagnética(FE)/VS, respectivamente. É observado no gráfico os valores que m e q assumem dependendo das coordenadas T/J e α . Para $\alpha>\alpha_c$, não são mais encontradas soluções maiores do que zero para o parâmetro m . A linha vertical mostra o corte em $\alpha=0.15$, destacando a transição VS/PM.

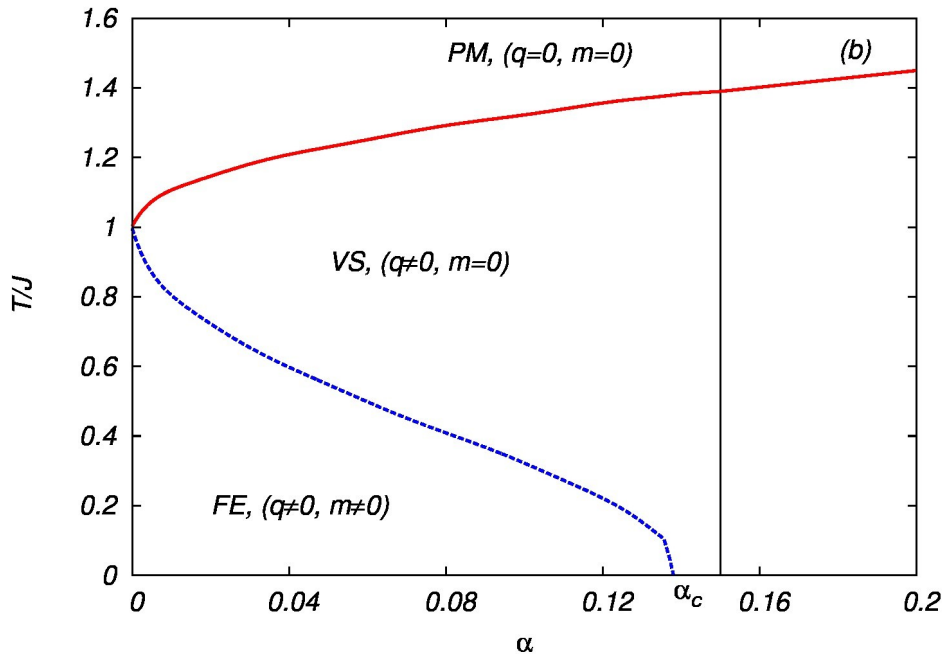


Figura 3: Diagrama de T/J em função de α , com linha segmentada separando FM/SG e linha contínua separando SG/PM. Para $\alpha > \alpha_c$, não são mais encontradas soluções para o parâmetro m .

4. CONCLUSÕES

A partir dos resultados, é observado que χ_1 e χ_3 apresentam uma descontinuidade e uma divergência respectivamente, o que é característico de transições vidros de spin. Particularmente, os resultados foram obtidos em α grande, que corresponde a um regime de alta desordem e frustração.

Como próximo trabalho, a descrição do comportamento da suscetibilidade em baixo α e uma análise detalhada do comportamento da energia livre de Helmholtz.

5. REFERÊNCIAS BIBLIOGRÁFICAS

CALLISTER, W. D. **Ciência e Engenharia de Materiais: Uma Introdução**. John Wiley & Sons, Inc., 2002.

FISCHER,K.H. ; HERTZ, J.A. **Spin Glasses**, Cambridge,1991.

AMIT, D. J.; GUTFREUND, H.; SOMPOLINSKY, H. Statistical mechanics of neural networks near saturation. **Annals of Physics**, v.173(1), p.30-67, 1987.

HOPFIELD, J.J. Neural networks and physical systems with emergent collective computational abilities. **Proc. Nat. Acad. Sci. USA**, v.79(8), p.2554-2558, 1982.

NISHIMORI, H. **Statistical Physics of Spin Glasses and Information Processing An Introduction**. International Series of Monographs on Physics No.111, Oxford University Press, 2001.

WILLIAM H. P, SAUL A. T., WILLIAM T. V., BRIAN P. F., **Numerical Recipes in Fortran 77. The Art of Scientific Computing**. Second Edition, 1992.